

## Mehanizam gašenja fotoluminescencije u tankim filmovima N,N'-bis(3-methylphenyl)-N,N'-bis(phenyl)benzidine osvetljenih UV svetlošću u vazduhu

ALEKSANDAR Ž. TOMOVIĆ, Univerzitet u Beogradu,  
Institut za fiziku, Beograd

Originalni naučni rad  
UDC:539.232:535.241.5

VLADIMIR P. JOVANOVIĆ, Univerzitet u Beogradu  
Institut za multidisciplinarna istraživanja, Beograd

66.018  
DOI:10.5937/tehnika1506909T

IVANA V. URIŠIĆ, Univerzitet u Beogradu,  
Institut za fiziku, Beograd

MILAN M. PEJIĆ, Institut za istraživanje i razvoj složenih sistema, Beograd  
VIKTOR Z. CEROVSKI, Univerzitet u Beogradu,

Institut za fiziku, Beograd

SUZANA M. BLESIĆ, Univerzitet u Beogradu,  
Institut za medicinska istraživanja, Beograd

RADOMIR ŽIKIĆ, Univerzitet u Beogradu,  
Institut za fiziku, Beograd

*U ovom radu je prikazana studija mehanizma gašenja fotoluminescencije (FL) tankih amorfnih filmova N,N'-bis(3-methylphenyl)-N,N'-bis(phenyl)benzidine (TPD) izloženih UV zračju u vazduhu. TPD je organski molekul koji se često koristi u izradi organskih svetlećih dioda (OLED). Prilikom izlaganja TPD filmova UV zračju u vazduhu, dolazi do fotooksidacije TPD molekula, te iz tog razloga fotoluminescencija TPD filmova opada eksponencijalno sa vremenom osvetljavanja filmova, odnosno sa povećanjem koncentracije ne isto a nastalih usled fotooksidacije. Intenzitet fotoluminescencije opadne na polovicu svoje početne vrednosti u slučaju kada je 0.4 % ne isto a prisutno u filmu. U tom slučaju je srednje rastojanje između ne isto a (akceptora) šest puta veće od srednjeg rastojanja između TPD molekula (donora). Direktni dugodometni Forsterov transfer energije je odbaćen kao mehanizam gašenja fotoluminescencije jer je spektralno preklapanje emisije donora i apsorpcije akceptora zanemarljivo. Iz ovog razloga je postulirana ekscitonska difuzija u TPD filmovima, analogno nalazima u postojeci literaturi. Prisustvo produkata oksidacije je potvrđeno uz pomoć infracrvene (IR) spektroskopije. Takođe, izrađen je IR spektar koristeći teoriju funkcionala gustine (DFT) i dobijeno je dobro slaganje sa eksperimentalnim rezultatima.*

**Ključne reči:** fotoluminescencija, tanki organski filmovi, TPD molekul, UV zračenje

### 1. UVOD

Poznato je da organski materijali degradiraju kada su simultano izloženi svetlu, vlazi i/ili kiseoniku [1–5], zbog toga je neophodna enkapsulacija organskih elektronskih uređaja (organskih svetlećih dioda, OLED).

Bez obzira na progres koji je postignut u oblasti enkapsulacije [6–8], ni jedan od metoda nije savršen. Jedan od faktora koji utiče na životni vek OLED je di-

fuzija vazduha kroz enkapsulacionu barijeru. Većina studija se bavi degradacijom koja se događa tokom rada uređaja, odnosno film se ne posmatra zasebno već kao integralni deo uređaja [9, 10].

Simultano prisustvo vazduha i svetla može da doveđe degradacije organskih filmova usled interakcije približnih molekula sa kiseonikom [4, 11–16]. Ova interakcija rezultuje formiranjem novih vrsta – u daljem tekstu ne isto a – koje mogu znati da utiču na razlike u osobinama filma, kao što su dužina difuzije ekscitona, fotoluminescencija, termalna (morfološka) stabilnost itd. Dublje razumevanje ponašanja osobina filmova pod uticajem prisustva ne isto a može da doveđe do tehnološkog progresa koji će posledicu može

Adresa autora: Aleksandar Tomović, Univerzitet u Beogradu, Institut za fiziku, Zemun, Pregrevica 118

Rad primljen: 02.06.2015.

Rad prihvat: 19.06.2015.

da ima produženje životnog veka organskih elektro-nskih ure aja.

U ovom radu je izu avano ponašanje fotoluminescencije (FL) amorfnih filmova TPD izloženih UV svetlosti u vazduhu. Ovaj materijal je veoma esto upotrebljavan pri izradi OLED ure aja i naj eš e se koristi kao šupljinski transportni sloj. Simultana ekspozicija filmova UV svetlosti i kiseoniku dovodi do nastajanja foto-oksidovanih molekula (ne isto a) u TPD filmu [17], koji za posledicu imaju efikasno gašenje FL ak i za veoma male koncentracije ne isto a. Na osnovu merenja apsorbance i FL tankih amorfnih filmova TPD u funkciji vremena osvetljavanja UV svetloš u u prisustvu vazduha odre ena je koncentracija ne isto a koja je potrebna da bi se ugasilo 50 % fotoluminescencije. Dati su eksperimentalni infracrveni spektri osvetljenog i neosvetljenog filma, i upore eni sa teorijskim spektrima dobijenim uz pomo teorije funkcionala gustine (DFT).

## 2. EKSPERIMENTALNI RAD

Amorfni tanki filmovi TPD (Sigma Aldrich, 99 % isto e) napareni su pod uslovima visokog vakuma  $5 \times 10^{-6}$  Torr, uz pomo Knudsenove efuzione elije sa otvorom od 3 mm. Temperatura elije je održavana na 190 °C koriš enjem izvora napajanja Sorensen DCS8-125E ija je kontrola vršena kroz povratnu spregu. Tipi na depoziciju je trajala 10 minuta, prose na debljina filmova dobijenih za to vreme iznosi 200 nm. Debljina filma  $d$  je odre ena na osnovu merenja apsorbance koriste i vrednost apsorpcionog koeficijenta  $1.6 \times 10^5 \text{ cm}^{-1}$  na 355 nm [18]. Filmovi su naparavani na kvarcne, staklene i KBr (Sigma Aldrich) supstrate. Pre naparavanja supstrati su iš eni sa deterdžentom, zatim u ultrasoni noj kadici u izopropanolu, a zatim u ultra istoj vodi (Milli-Q 18.2 M cm na 25°C) nakon ega su sušeni azotom. KBr supstrati su koriš eni bez prethodnog tretmana.

Filmovi su izloženi UV zraju dobijenom iz UV LED 350 nm sa maksimalnom gustinom snage od  $I_{UV}^{max} = 3 \text{ mWcm}^{-2}$ , koja je odre ena merenjem uz pomo Solar Light Co. PMA 2110 UVA senzora. Tanki filmovi TPD su osvetljeni sa UV diodom snage  $1.7 \text{ mWcm}^{-2}$  izmerene u rasponu od 300–400 nm (merenje snage izvršeno je uz pomo ure aja: Solar Light Co. PMA 2110 UVA sensor).

Promene u apsorpcionim spektrima TPD filma na kvarcu osvetljenog sa  $I_{UV} = 1.7 \text{ mWcm}^{-2}$  su pra ene na Beckman Coulter DU 700 spektrofotometru.

Isti UV LED je koriš en za eksitaciju u cilju dobijanja fotoluminescentnih spektara i za pra enje brzina promene apsorbance i fotoluminescencije. Prilikom osvetljavanja filma u vazduhu obe veli ine su merene u istoj ta ki na filmu koriste i Princeton

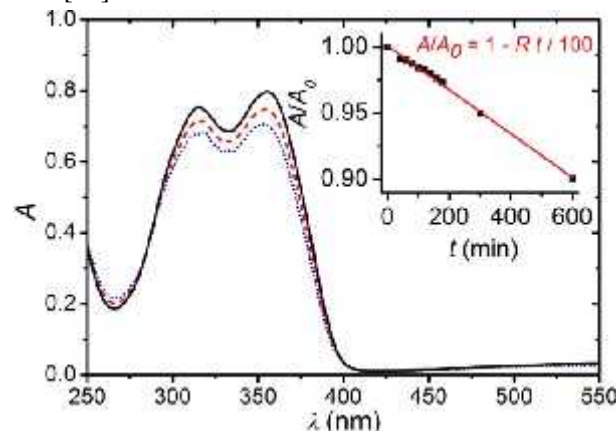
Instruments Acton SP2500 spektrometar sa instaliranim Pixis 100 CCD kamerom.

Infracrveni (IR) spektri osvetljenog i neosvetljenog filma izmereni su na ure aju Nicolet iN10 sa hlaenim detektorom, sa površine uzorkovanja  $300 \mu\text{m} \times 300 \mu\text{m}$  i rezolucijom od  $4 \text{ cm}^{-1}$ .

Vibracioni spektri molekula TPD i dva mogu a produkta oksidacije su dobijeni koriste i teoriju funkcionala gustine (DFT). Kalkulacije su izvedene u programu NWChem [19], pri emu je koriš en hibridni funkcional B3LYP i skup bazisnih funkcija 6-31G\*.

## 3. REZULTATI I DISKUSIJA

Na slici 1 prikazana je promena apsorpcionog spektra TPD filma u zavisnosti od vremena  $t$  osvetljavanja UV svetloš u u vazduhu. Ozraivanje filma u vazduhu dovodi do postepenog smanjenja obe apsorpcionih maksimuma u regionu od 325–400 nm. Pad vrednosti apsorpcionih maksimuma je posledica foto-oksidacije filma: pobu eni TPD molekuli interaguju sa molekulima kiseonika koji su difundovali u film [17].

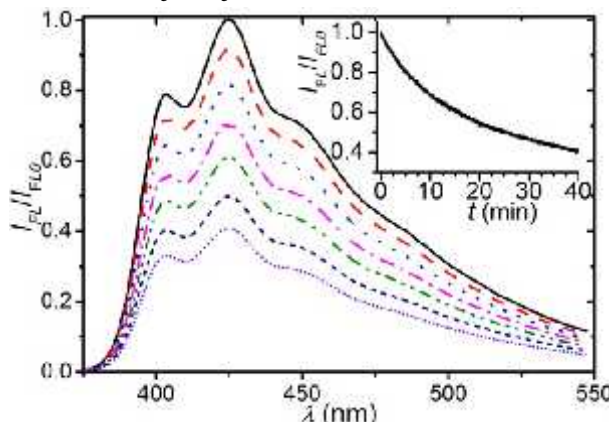


Slika 1 – Apsorpcioni spektri neosvetljenog TPD filma (puna linija), posle 300 min (isprekidana linija) i nakon 600 min osvetljavanja (ta kasta linija). U umetku je prikazano ponašanje vrednosti apsorbance na 355 nm normalizovane na vrednost u po etnom trenutku u zavisnosti od vremena osvetljavanja. TPD film debljine 115 nm je osvetljen UV svetloš u intenzitetu  $I_{UV} = 1.7 \text{ mWcm}^{-2}$

U cilju pra enja promena u filmu vrednost apsorbance na 355 nm je normalizovana na po etnu vrednost  $A_0$  u trenutku  $t = 0$  i nacrtana u zavisnosti od vremena osvetljavanja  $t$  (umetak Slike 1). Uo eno je da se vrednost normalizovane apsorbance  $A/A_0$  linearno smanjuje sa vremenom osvetljavanja. Iz linearnog fita ove zavisnosti možemo da dobijemo brzinu promene  $R$  normalizovane apsorbance, koja za film na slici 1 iznosi  $0.017\%/\text{min}$ . Možemo da prepostavimo

da  $R$  takođe odgovara i brzini promene koncentracije ne isto a prisutnih u filmu.

Uticaj UV zračenja na fotoluminescenciju istog filma prikazan je na Slici 2 u vidu serije spektara dobijenih za različito vreme ozračivanja. Oigledno je da intenzitet fotoluminescencije opada, međutim nema promenu u obliku spektra. Intenzitet fotoluminescencije  $I_{FL}$  na talasnoj dužini  $\lambda = 425 \text{ nm}$ , normalizovan da vrednost  $I_{FL0}$  u  $t = 0$ , opada eksponencijalno sa vremenom osvetljavanja  $t$  (umetak slike 2).



Slika 2 – Intenzitet fotoluminescencije  $I_{FL}$ , normalizovan na vrednost  $I_{FL0}$  na talasnoj dužini  $\lambda = 425 \text{ nm}$  u  $t = 0 \text{ s}$ , u zavisnosti od  $t$  (prikazane krive dobijene su za  $t = 0, 2, 5, 9.5, 15.5, 25$  i  $40 \text{ min}$ ). Vidno je da  $I_{FL}/I_{FL0}$  opada monotono sa vremenom osvetljavanja. U umetku je prikazan intenzitet  $I_{FL}/I_{FL0}$  na  $425 \text{ nm}$  normalizovan na svoju po etnu vrednost u funkciji vremena osvetljavanja. TPD film debljine 115 nm je osvetljen UV svetlošću u intenziteta  $I_{UV} = 1.7 \text{ mWcm}^{-2}$

Vreme koje je potrebno da intenzitet fotoluminescencije opadne na polovicu svoje po etne vrednosti naziva se poluvreme  $t_{1/2}$  i iznosi 30 min za film sa Slike 2. Za to vreme, uzimajući u obzir dobijenu vrednost za  $R$ , apsorbanca se promeni za približno 0.4 %, što ukazuje na postojanje netrivijalnog mehanizma gašenja fotoluminescencije.

U slučaju prisustva 0.4 % ne isto a (koje su odgovorne za gašenje 50 % FL), srednje rastojanje između molekula ne isto a  $d_i$  iznosi oko 5.5 nm. Ova vrednost je dobijena iz gustine TPD koja je  $1.2 \text{ gcm}^{-3}$  (za monoklinički kristal, sa dva molekula u jediničnoj eliji) [20] uz pretpostavku da molekuli formiraju jednostavnu kubnu rešetku. Forsterov rezonatni transfer energije (FRET) sa TPD molekulama na molekul ne isto a može da se odbaci zbog nepostojanja preklapanja između spektra emisije TPD molekula i spektra apsorpcije molekula ne isto a [21-24].

Druge objašnjenje za mehanizam gašenja FL je da ekscitoni difunduju kroz film i ako na svom putu najde

ne isto a, dolazi do gašenja luminescencije [25-28]. Dužina difuzije ekscitona  $l_D$  za amorfni TPD film je oko 5 nm [29], što je približno rastojanje  $d_i$  između molekula ne isto a. Dakle, pri ovoj koncentraciji ne isto a uslov za gašenje luminescencije, naime  $d_i < l_D$ , je približno zadovoljen [30].

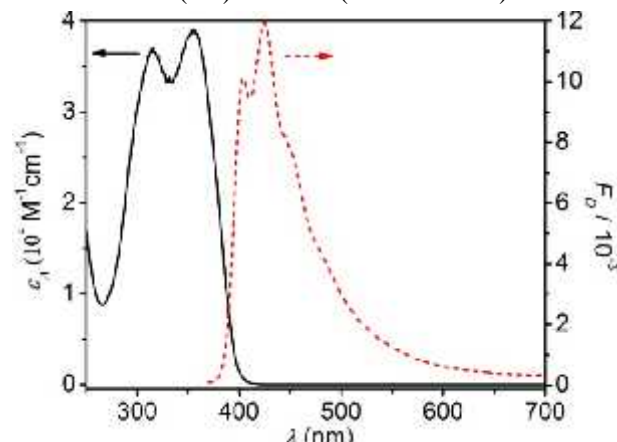
Forsterov transfer energije između dva TPD molekula odigrava se verovatno u vremenu od 50% kada je rastojanje između njih manje od 1.56 nm. Forsterov sopstveni radijus  $R_0 = 1.56 \text{ nm}$  za TPD izračunat je na osnovu formule [31] (u angstromima):

$$R_0 = 0.211 (\frac{2}{3} n^4 Q_D J)^{1/6},$$

gde je  $\frac{2}{3} = 2/3$  geometrijski faktor za slajanje orientaciju tranzicionih dipolnih momenata donora i akceptora,  $Q_D = 0.39$  kvantna efikasnost FL donora (TPD) [32] i  $n = 2$  indeks prelamanja [33] za amorfni TPD film. Integral preklapanja  $J$  dobijen je iz formule

$$J = \int A(\lambda) F_D(\lambda) d\lambda,$$

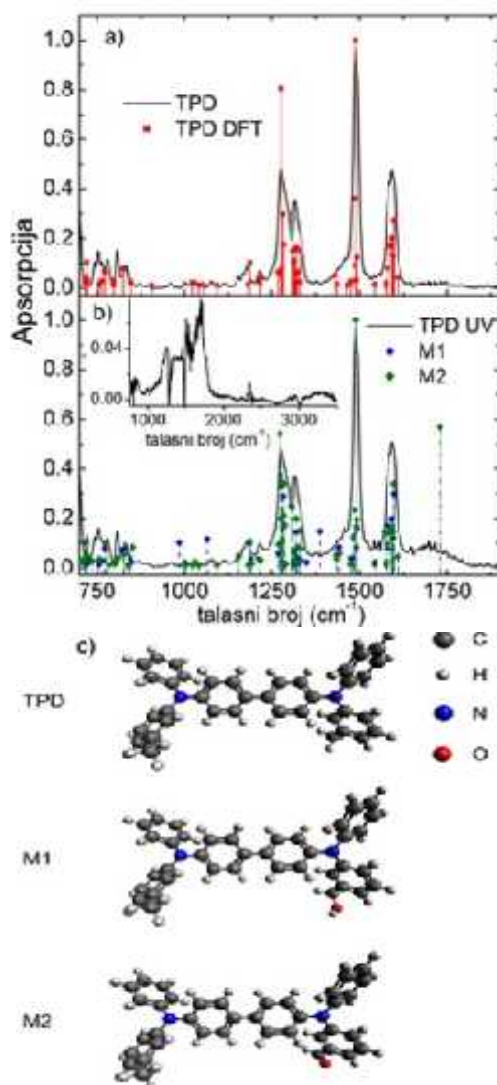
gde je  $A(\lambda)$  molarni dekadni eksplikacioni koeficijent akceptora i  $F_D(\lambda)$  fotoluminescencija donora koji je integral normalizovan na jedinicu. Za naš TPD uzorak  $J = 1.01 \times 10^{13} (\text{nm})^4 \text{M}^{-1} \text{cm}^{-1}$  (videti Sliku 3).



Slika 3 – Molarni dekadni eksplikacioni koeficijent  $A$  (leva y-akcija) i fotoluminescencija  $F_D$  koji je integral normalizovan na jedinicu (desna y-akcija) tankog TPD filma

Ekscitacije su lokalizovane i kreću se u skokovima sa jednog na drugi TPD molekul preko jednog od dva moguća procesa: jedan je FRET, a drugi je Deksterov transfer elektrona [34]. Deksterov mehanizam zahteva prostorno preklapanje talasnih funkcija dva TPD molekula i tipično se odigrava na malim rastojanjima (manjim od 1 nm). Frekvencija (stopa) Deksterovog transfera je tipično mnogo manja nego za FRET, budući da se odnosi na ekscitone sa zabranjenim dipolnim prelazima, kao u slučaju triplet-triplet transfera energije [21, 26]; u slučaju TPD filmova, luminescencija nastaje od singletnih ekscitona, i stoga bi njihov transport trebalo da se odvija po FRET mehanizmu.

Na osnovu prethodnog, mehanizam gašenja FL kod TPD filmova je sledeći: najpre kiseonik difunduje u amorfni film, gde hemijski reaguje sa TPD molekulom pobranošem pomoću UV svetlosti i formira neistotu u (koja se ponaša kao centar za gašenje luminescencije). Eksciton, nastali pobranošem ivanjem TPD molekula, difunduje tako što u skokovima prelaze sa jednog na drugi TPD molekul služeći ajnim hodom putem FRET-a. Ako u toku svoga vremena života, eksciton nije na molekul ne isto, dolazi do Deksterovog transfera energije i gašenja FL.



Slika 4 – a) Infracrveni spektrovi neosvetljenog filma, eksperimentalni (crna puna linija) i teorijski (crvene linije i kvadratni simboli). b) IR spektrovi osvetljenog filma (crna puna linija) i teorijski spektrovi dva oksidovana TPD molekula M1 i M2, plavi i zeleni simboli i linije, respektivno. U umetki je data razlika između izmerenih spektara osvetljenog i neosvetljenog filma. c) Molekularna struktura TPD molekula i produkata oksidacije M1 i M2.

Na slici 4a i b su prikazani IR spektrovi osvetljenog i neosvetljenog TPD filma, respektivno. U slučaju eksponiranog filma može se videti nova traka na  $1700\text{ cm}^{-1}$ . Ova frekvencija je tipična za vibraciju C=O veze [35]. Oduzimanje spektra neosvetljenog filma od osvetljenog ukazalo je na postojanje dodatnih razlika koje nisu uključene u regionu oko  $1700\text{ cm}^{-1}$ . Nova traka oko  $3300\text{ cm}^{-1}$  odgovara vibracijama -OH grupe [35].

Radi identifikovanja mogu ih produkta foto-oksidacije TPD filmova eksperimentalni infracrveni spektrovi su u poređenju sa teorijskim vibracionim spektrom za isti TPD i dva "modifikovana" molekula koja sadrže kiseonik (slika 4) dobijenim pomoću teorije funkcionala gustine. Na Slici 4a vidi se da se DFT rezultati dobijeni za isti TPD molekul odgovaraju eksperimentalnim rezultatima.

Ostala dva molekula (dati na Slici 4c) izabrana su zbog prethodnih rezultata masene spektroskopije, koji su pokazali postojanje dve nove mase u spektru TPD filmova osvetljenih UV svetlošću [17]. Nove mase su veće od molekulske mase TPD molekula za  $14\text{ gmol}^{-1}$  i  $16\text{ gmol}^{-1}$ . One odgovaraju masama molekula koji se dobiju tako što TPD molekul otpusti dva vodonika, a zatim za sebe veže dvostrukom vezom jedan kiseonik, jednostrukom vezom veže -OH grupu (u oba slučaja kiseonik se vezuje za C atom molekula). Shodno tome su u teorijsko razmatranje uzeti molekuli M1 i M2 (slika 4c) koji odgovaraju navednim slučajevima i kod kojih se -OH grupa i dvostruko vezani kiseonik vezuju za C atom iz metil grupe. Teorijski vibracioni spektrovi molekula M1 i M2 pokazuju postojanje vibracija u regionu u kojima su identifikovane promene u spektru osvetljenog uzorka (slika 4b), u oblasti od  $1200$  do  $1800\text{ cm}^{-1}$ .

#### 4. ZAKLJUČAK

Tanki filmovi TPD su osvetljavani UV svetlošću u vazduhu. Uočeno je eksponentijalni pad intenziteta fotoluminescencije u zavisnosti od vremena osvetljavanja, dok apsorbanca opada linearno. Procenjeno je da prisustvo  $0.4\%$  oksidovanih vrsta, koje se stvaraju pod uticajem UV zračenja u vazduhu, dovodi do gašenja  $50\%$  luminescencije. Ovo ukazuje na postojanje netrivijalnog mehanizma gašenja luminescencije: eksciton difunduje kroz amorfni TPD film putem Forsterovog rezonatnog transfera energije, i ako u toku difuzije naiđe na molekul ne isto, dolazi do gašenja luminescencije. Dakle dovoljan je samo mali broj ne isto, da bi došlo do efikasnog gašenja luminescencije u amorfnim TPD filmovima.

Za otkrivanje je pretpostaviti da prisustvo ne isto, može da utiče i na transport nanelektrisanja, što je

nepoželjno budu i da se TPD koristi kao transportni sloj u OLED uređajima.

Rezultati teorijske studije vibracionih spektara TPD molekula i dva pretpostavljena oblika oksidovanih vrsta su pokazali dobro slaganje sa eksperimentalnim spektrima dobijenim za isti i osvetljen TPD film i predloženi su mogući produkti foto-oksidacije.

#### LITERATURA

- [1] Neugebauer H, Sol. Energy Mater. Sol. Cells, 61, p. 35-42, 2000.
- [2] Kawano K, Sol. Energy Mater. Sol. Cells, 90, p. 3520-3530, 2006.
- [3] Pacholski R, Adv. Funct. Mater. 16, p. 2117-2126, 2006.
- [4] Cook S, J. Mater. Chem., 22, p. 4282-4289, 2012.
- [5] Schmidbauer S, J. Org. Chem., 9, p. 2088-2096, 2013.
- [6] Burrows P. E, Appl. Phys. Lett., 65, p. 2922-2924, 1994.
- [7] Chwang A. B, Appl. Phys. Lett., 83, p. 413-415, 2003.
- [8] Park J.-S, Semicond. Sci. Technol. 26, p. 034001, 2011.
- [9] So F, Adv. Mater, 22, p. 3762-3777, 2010.
- [10] Siefert R, Appl. Phys. Lett., 97, p. 013308, 2010.
- [11] Maliakal A, Chem. Mater, 16, p. 4980-4986, 2004.
- [12] Djurišić A. B, Proc. SPIE, 4800, p. 200-207, 2003.
- [13] Shukla V. K, Synth. Metals, 156, p. 387-391, 2006.
- [14] Zyung T, Appl. Phys. Lett., 67, p. 3420-3422, 1995.
- [15] Hintz H, Chem. Mater, 23, p. 145-154, 2011.
- [16] Lüer L, Org. Electron., 5, p. 83-89, 2004.
- [17] Tomović A. Ž, Thin Solid Films, 562, p. 99-103, 2014.
- [18] Mattoussi H, J. App. Phys., 86, p. 2642, 1999.
- [19] Valiev M, Comput. Phys. Commun, 181, p. 1477, 2010.
- [20] Zhang Z, Acta Cryst., C60, p. o452-o454, 2004.
- [21] Pope M, Electronic processes in organic crystals and polymers, drugo izdanje, Oxford University Press, New York, 1999.
- [22] Förster Th, Discuss. Faraday Soc, 27, p. 7-17, 1959.
- [23] Virgili T, Adv. Mater. 12, p. 58-62, 2000.
- [24] Suljovrujic E, J. Chem. Phys, 121, p. 3745-3750, 2004.
- [25] Northrop D. C, Proc. R. Soc. Lond. A 234, p. 136-149, 1956.
- [26] Madigan C, Phys. Rev. Lett, 96, p. 046404, 2006.
- [27] Ahn T.-S, Chem. Phys. Lett., 446, p. 43-48, 2007.
- [28] Menke S. M, Energy Environ. Sci., 7, p. 499-512, 2014.
- [29] Kafafi Z. H, Pure Appl. Chem., 71, p. 2085-2094, 1999.
- [30] Choukri H, Appl. Phys. Lett, 89, p. 183513, 2006.
- [31] Lakowicz J. R, Principles of fluorescence spectroscopy, treće izdanje, Springer Science+Business Media, New York, 2006.
- [32] Tsuboi T, Thin Solid Films, 518, p. 835-838, 2009.
- [33] Holzer W, Synth. Met, 113, p. 281, 2000.
- [34] Dexter D. L, J. Chem. Phys, 21, p. 836-850, 1953.
- [35] Socrates G, Infrared and Raman characteristic group frequencies, treće izdanje, John Wiley & Sons Ltd, Chichester, 2001.

## SUMMARY

### MECHANISM OF PHOTOLUMINESCENCE QUENCHING IN THIN FILMS OF N,N -BIS(3-METHYLPHENYL)-N,N -BIS(PHENYL)BENZIDINE IRRADIATED BY UV LIGHT IN AIR

*The mechanism of photoluminescence (PL) quenching of thin amorphous N,N -bis(3-methylphenyl)-N,N -bis(phenyl)benzidine (TPD) films exposed to UV light in air is studied. TPD is small organic molecule widely used in production of organic light emitting devices (OLEDs). Photoluminescence of TPD films decays exponentially with time of irradiation, i.e. with the increase of concentration of impurities (photo-oxidized TPD molecules) generated by UV irradiation in air. Intensity of PL decreases to half of its original value when the concentration of impurities reaches 0.4%. Average distance between impurities (acceptors) is almost an order of magnitude larger than average distance between host TPD molecules (donors). Direct long range Förster energy transfer is ruled out as the mechanism of PL quenching, as the overlap between donor and acceptor is lacking, and exciton self-diffusion in TPD films is postulated for the mechanism. The presence of oxidation products is confirmed by infrared (IR) spectroscopy. Vibrational spectra of TPD molecule and few other possible products of photo-oxidation of TPD molecule, obtained by density functional theory, are compared to experimental IR spectra.*

**Key words:** photoluminescence, thin organic films, TPD molecule, UV irradiation